

(19) 日本国特許庁(JP)

(12) 特許公報(B2)

(11) 特許番号

特許第6489824号
(P6489824)

(45) 発行日 平成31年3月27日(2019.3.27)

(24) 登録日 平成31年3月8日(2019.3.8)

(51) Int.Cl.

F 1

G03G 5/05 (2006.01)
G03G 5/06 (2006.01)G03G 5/05
G03G 5/06101
312

請求項の数 9 (全 30 頁)

(21) 出願番号	特願2014-262499 (P2014-262499)	(73) 特許権者	000001007 キヤノン株式会社 東京都大田区下丸子3丁目30番2号
(22) 出願日	平成26年12月25日(2014.12.25)	(74) 代理人	100126240 弁理士 阿部 琢磨
(65) 公開番号	特開2015-163948 (P2015-163948A)	(74) 代理人	100124442 弁理士 黒岩 創吾
(43) 公開日	平成27年9月10日(2015.9.10)	(72) 発明者	伊藤 陽太 東京都大田区下丸子3丁目30番2号キヤ ノン株式会社内
審査請求日	平成29年12月22日(2017.12.22)	(72) 発明者	姉崎 隆志 東京都大田区下丸子3丁目30番2号キヤ ノン株式会社内
(31) 優先権主張番号	特願2014-17770 (P2014-17770)		
(32) 優先日	平成26年1月31日(2014.1.31)		
(33) 優先権主張国	日本国(JP)		

最終頁に続く

(54) 【発明の名称】電子写真感光体、プロセスカートリッジ及び電子写真装置

(57) 【特許請求の範囲】

【請求項1】

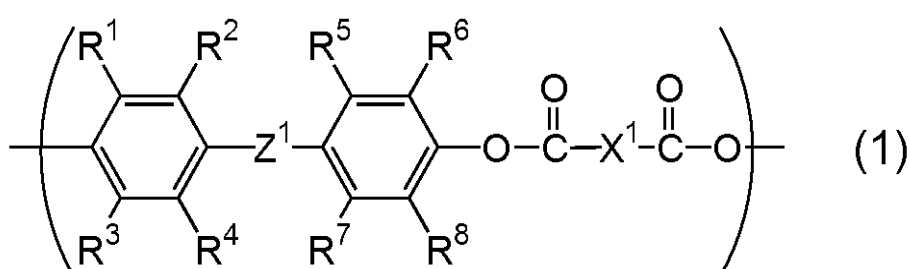
支持体、該支持体上に形成されている電荷発生層、及び該電荷発生層上に形成されている正孔輸送層を有する電子写真感光体であって、

該正孔輸送層が、式(1)で示される構造単位を有するポリエステル樹脂と、式(S1)又は式(S2)で示される正孔輸送物質とを含有し、

該正孔輸送層において、該正孔輸送物質と、該式(1)で示される構造単位を有するポリエステル樹脂との質量比率(正孔輸送物質/樹脂)が、10/8~6/10の範囲である

ことを特徴とする電子写真感光体。

【化1】

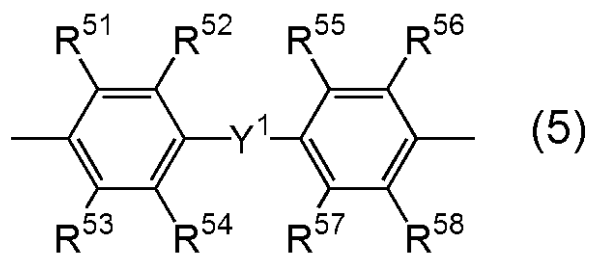
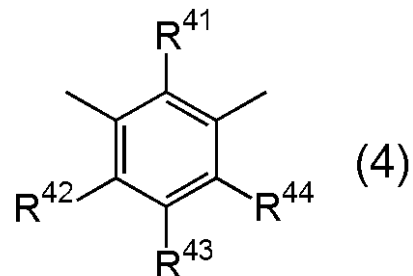
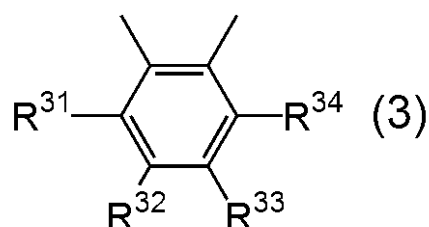
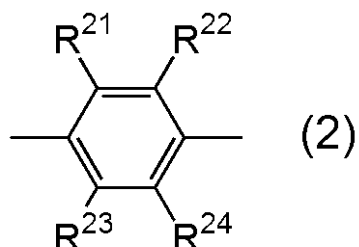


10

20

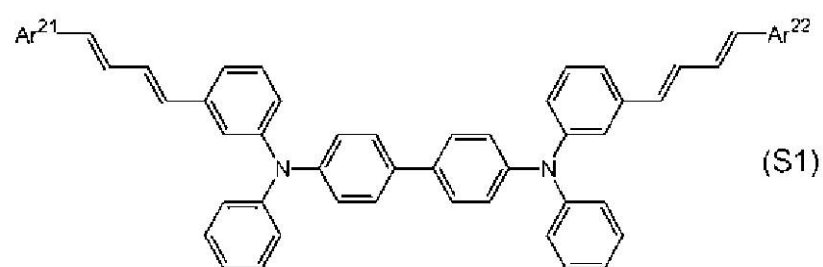
(式(1)中、R¹～R⁸は、それぞれ独立に、水素原子又はメチル基を示し、X¹は、式(2)～(5)のいずれかで示される2価の基を示し、Z¹は、置換基として1～3個の炭素数1～3のアルキル基を有する置換シクロアルキリデン基を示し、該置換シクロアルキリデン基は、5～8員環である。)

【化2】



(式(2)～(5)中、R^{2 1}～R^{2 4}、R^{3 1}～R^{3 4}、R^{4 1}～R^{4 4}及びR^{5 1}～R^{5 8}は、それぞれ独立に、水素原子又はメチル基を示し、Y¹は、単結合、酸素原子、硫黄原子、置換もしくは無置換のアルキレン基を示す。)

【化3】



(式(S1)中、Ar^{2 1}及びAr^{2 2}は、それぞれ独立にフェニル基又はメチル基で置換されているフェニル基を示す。)

10

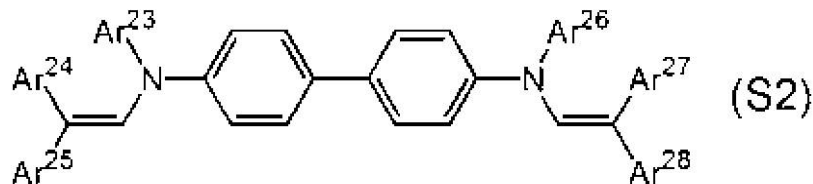
20

30

40

50

【化4】



(式(S2)中、Ar²³～Ar²⁸は、それぞれ独立にフェニル基又はメチル基で置換されているフェニル基を示す。)

【請求項2】

該ポリエステル樹脂は、Z¹が、置換のシクロヘキシリデン基である請求項1に記載の電子写真感光体。

【請求項3】

X¹が、上記式(5)で示される2価の基である請求項1又は2に記載の電子写真感光体。

【請求項4】

該ポリエステル樹脂は、該1～3個の炭素数1～3のアルキル基が、該ポリエステル樹脂の2つの芳香環に結合する炭素原子C_zに対して、C_zを通る対称面の対称要素を有さないように該シクロアルキリデン基の置換位置に置換されている請求項1～3のいずれか1項に記載の電子写真感光体。

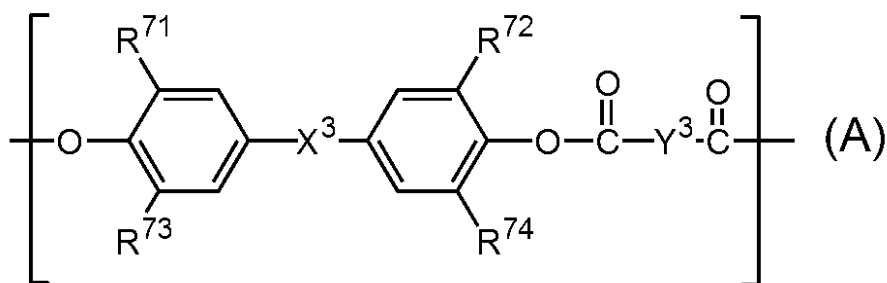
【請求項5】

該ポリエステル樹脂は、該1～3個の炭素数1～3のアルキル基が、1～3個のメチル基である請求項1～4のいずれか1項に記載の電子写真感光体。

【請求項6】

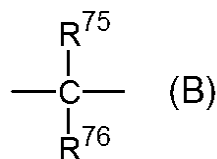
該ポリエステル樹脂は、さらに下記式(A)で示される構造単位を有する請求項1～5のいずれか1項に記載の電子写真感光体。

【化5】



(式中、R⁷¹～R⁷⁴は、それぞれ独立に、水素原子、メチル基、又はフェニル基を示し、X³は、単結合、酸素原子、シクロヘキシリデン基、又は下記式(B)で示される2価の基を示し、Y³はm-フェニレン基、p-フェニレン基、シクロヘキシレン基、又は2つのフェニレン基が酸素原子を介して結合して導かれる2価の基を示す。)

【化6】



40

50

(式中、R⁷⁻⁵およびR⁷⁻⁶は、それぞれ独立に、水素原子、メチル基、エチル基又はフェニル基を示す。)

【請求項 7】

請求項1～6のいずれか1項に記載の電子写真感光体を製造する電子写真感光体の製造方法であって、

該ポリエステル樹脂及び該正孔輸送物質を少なくとも含有する正孔輸送層用塗布液を調製する工程、及び

該正孔輸送層用塗布液の塗膜を形成し、該塗膜を乾燥して該正孔輸送層を形成する工程を有することを特徴とする電子写真感光体の製造方法。

10

【請求項 8】

請求項1～6のいずれか1項に記載の電子写真感光体と、帯電手段、現像手段、及びクリーニング手段からなる群より選択される少なくとも1つの手段とを一体に支持し、電子写真装置に着脱自在であることを特徴とするプロセスカートリッジ。

【請求項 9】

請求項1～6のいずれか1項に記載の電子写真感光体、帯電手段、露光手段、現像手段及び転写手段を有することを特徴とする電子写真装置。

【発明の詳細な説明】

【技術分野】

【0001】

20

本発明は、電子写真感光体、電子写真感光体を有するプロセスカートリッジ及び電子写真装置に関する。

【背景技術】

【0002】

プロセスカートリッジや電子写真装置に搭載される電子写真感光体として、有機光導電性物質（電荷発生物質）を含有する電子写真感光体が用いられている。この電子写真感光体は、成膜性が良く、塗料の塗工によって生産できるため生産性が高い、という利点を有している。電子写真感光体は、一般的に、支持体及び支持体上に形成されている感光層を有する。

【0003】

30

感光層は、電荷発生物質を含有する電荷発生層上に正孔輸送物質を含有する正孔輸送層を積層している積層型感光層がよく用いられている。

【0004】

近年、より長寿命な電子写真装置が求められており、そのため、機械的劣化や電気的劣化に対する耐久性をより向上させた電子写真感光体の提供が望まれている。

【0005】

特許文献1には、機械的劣化を抑制するため、正孔輸送層に用いる結着樹脂をポリカーボネート樹脂からポリエステル樹脂に変更して、機械的強度を向上させる技術が記載されている。加えて、長寿命化のために、正孔輸送層の膜厚を厚くする方法もよく用いられている。

40

【0006】

しかしながら、ポリエステル樹脂として、芳香族ジカルボン酸と芳香族ジオールとから生成した芳香族ポリエステル樹脂を含有する正孔輸送層を厚膜化すると、フォトメモリーが生じやすい。フォトメモリーとは、光が照射された部分に電荷が滞留することで、光が照射された部分と光が照射されていない部分との間で電位差を生じ、画像再現性が低下するメモリー現象のことである。

【0007】

電子写真感光体の耐久性の向上とフォトメモリーの抑制を両立させるために、芳香族ポリエステル樹脂の構造を特定の構造にする技術が提案されている。特許文献2では、芳香族ポリエステル樹脂の芳香族ジオール部位を特定の構造とすることが記載されている。特

50

許文献 3 には、芳香族ポリエステル樹脂の芳香族ジカルボン酸部位を特定の構造とすることが記載されている。

【0008】

本発明者らが検討を行った結果、特許文献 1 ~ 3 に記載された芳香族ポリエステル樹脂では、十分にフォトメモリーが改善されていない場合があり、更なる改善の余地があることが判明した。

【先行技術文献】

【特許文献】

【0009】

【特許文献 1】特開平 10 - 39521 号公報

10

【特許文献 2】特開 2005 - 250503 号公報

【特許文献 3】特開 2008 - 203528 号公報

【発明の概要】

【発明が解決しようとする課題】

【0010】

本発明の目的は、正孔輸送層に芳香族ポリエステル樹脂を用いた場合においても、フォトメモリーが抑制されている電子写真感光体、ならびに、その製造方法を提供することにある。また、本発明の別の目的は、上記電子写真感光体を有するプロセスカートリッジ及び電子写真装置を提供することにある。

【課題を解決するための手段】

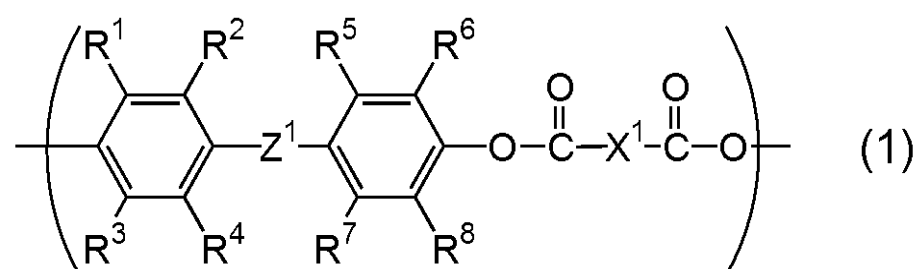
20

【0011】

本発明は、支持体、該支持体上に形成されている電荷発生層、及び該電荷発生層上に形成されている正孔輸送層を有する電子写真感光体であって、該正孔輸送層が、式(1)で示される構造単位を有するポリエステル樹脂と、式(S1)又は式(S2)で示される正孔輸送物質とを含有し、該正孔輸送層において、該正孔輸送物質と、該式(1)で示される構造単位を有するポリエステル樹脂との質量比率(正孔輸送物質/樹脂)が、10/8 ~ 6/10 の範囲であることを特徴とする電子写真感光体に関する。

【0012】

【化1】



30

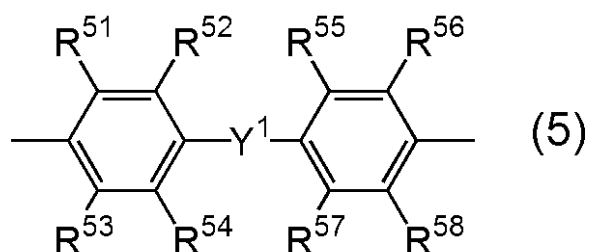
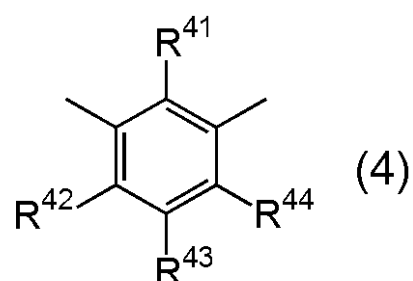
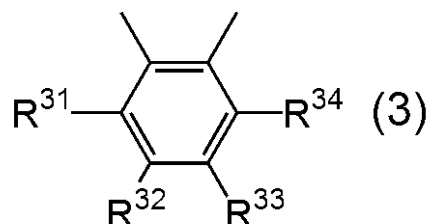
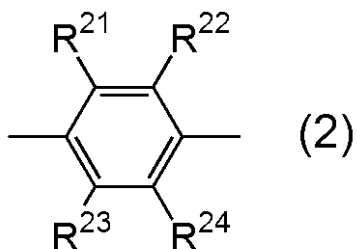
【0013】

(式(1)中、R¹ ~ R⁸ は、それぞれ独立に、水素原子又はメチル基を示し、X¹ は、式(2) ~ (5)のいずれかで示される2価の基を示し、Z¹ は、置換基として1 ~ 3個の炭素数1 ~ 3のアルキル基を有する置換シクロアルキリデン基を示し、該置換シクロアルキリデン基は、5 ~ 8員環である。)

40

【0014】

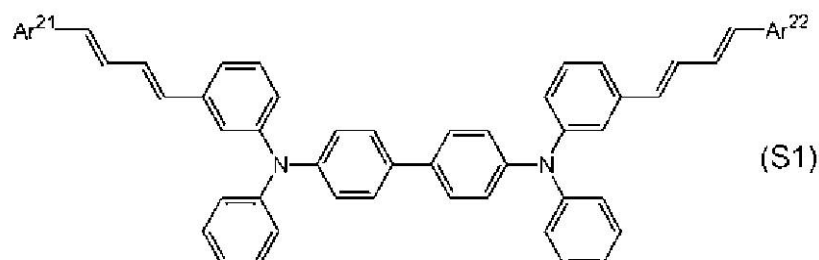
【化2】



【0015】

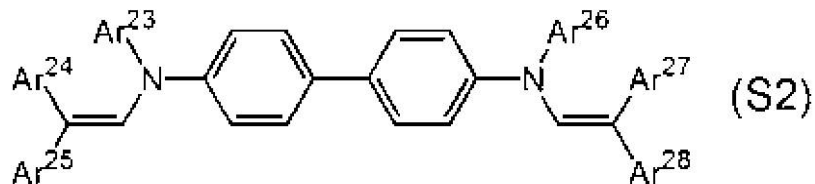
(式(2)～(5)中、R²¹～R²⁴、R³¹～R³⁴、R⁴¹～R⁴⁴及びR⁵¹～R⁵⁸は、それぞれ独立に、水素原子又はメチル基を示し、Y¹は、単結合、酸素原子、硫黄原子、置換もしくは無置換のアルキレン基を示す。)

【化7】



(式(S1)中、Ar²¹及びAr²²は、それぞれ独立にフェニル基又はメチル基で置換されているフェニル基を示す。)

【化 8】



10

(式(S2)中、Ar²³～Ar²⁸は、それぞれ独立にフェニル基又はメチル基で置換されているフェニル基を示す。)

また、本発明は、上記電子写真感光体と、帯電手段、現像手段、及びクリーニング手段からなる群より選択される少なくとも1つの手段とを一体に支持し、電子写真装置本体に着脱自在であることを特徴とするプロセスカートリッジに関する。

【0016】

また、本発明は、上記電子写真感光体、帯電手段、露光手段、現像手段及び転写手段を有することを特徴とする電子写真装置に関する。

【発明の効果】

20

【0017】

本発明によれば、正孔輸送層に特定のポリエステル樹脂を用いることで、フォトメモリーが抑制されている電子写真感光体を提供することが可能である。

【図面の簡単な説明】

【0018】

【図1】電子写真感光体の層構成の一例を示す図である。

【図2】電子写真感光体を備えたプロセスカートリッジを有する電子写真装置の概略構成を示す図である。

【発明を実施するための形態】

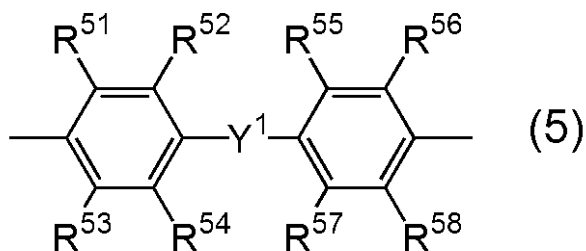
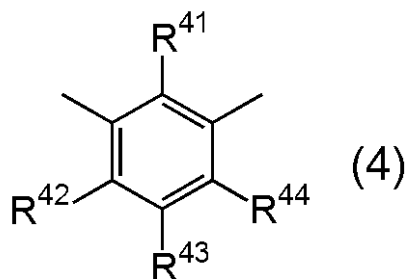
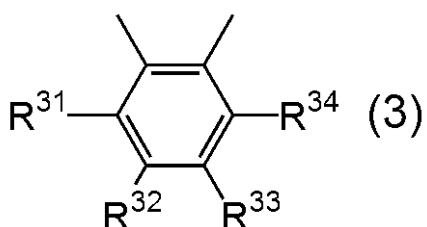
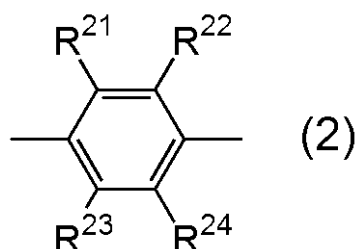
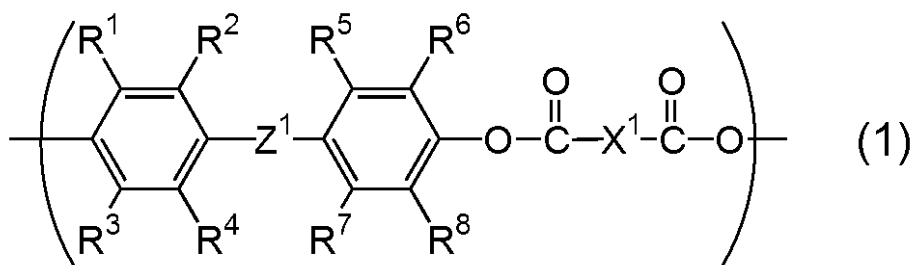
【0019】

30

本発明は、電子写真感光体の正孔輸送層が、下記式(1)で示される構造単位を有するポリエステル樹脂(ポリアリレート樹脂)と正孔輸送物質とを含有することを特徴とする。

【0020】

【化3】



【0021】

式(1)中、R¹～R⁸は、それぞれ独立に、水素原子又はメチル基を示す。X¹は、
式(2)～(5)のいずれかで示される2価の基を示す。

【0022】

式(2)～(5)中、R²¹～R²⁴、R³¹～R³⁴、R⁴¹～R⁴⁴及びR⁵¹～
R⁵⁸は、それぞれ独立に、水素原子又はメチル基を示す。Z¹は、5～8員環の置換シ
クロアルキリデン基を示す。該置換シクロアルキリデン基は、置換基として1～3個の炭
素数1～3のアルキル基を有する。炭素数1～3のアルキル基としては、メチル基、エチ
ル基、プロピル基が挙げられる。好ましくは、メチル基である。これらの中でも、X¹が
式(5)で示される2価の基であることが好ましい。

【0023】

式(5)中、Y¹は、単結合、酸素原子、硫黄原子、置換もしくは無置換のアルキレン

40

50

基を示す。該置換のアルキレン基の置換基としては、メチル基、フッ化アルキル基、アルコキシ基又はアリール基である。好ましくは、単結合、酸素原子、または硫黄原子である。

【0024】

正孔輸送層に、式(1)で示される構造単位を有するポリエステル樹脂を用いた場合に、フォトメモリーが抑制される理由について、本発明者らは以下のように推測している。

【0025】

正孔輸送層の結着樹脂として用いられている従来の芳香族ポリエステル樹脂は、ポリカーボネート樹脂と比べて構造単位中に芳香環が多く、分子鎖は剛直であると推測される。そのため、芳香族ポリエステル樹脂内や、芳香族ポリエステル樹脂の分子間で、芳香族ポリエステルの構造単位は折り重なったような配置となり、芳香族ポリエステル樹脂分子の間に正孔輸送物質が入り込みにくくなっていると考えられる。その結果、正孔輸送物質同士で凝集が起こりやすくなり、電荷発生層で発生した正孔は正孔輸送層中に滞留し、フォトメモリーが発生しやすくなると推測している。

10

【0026】

しかしながら、本発明で使用するポリエステル樹脂は、芳香族ジオールのビスフェノール部位の中央の脂肪族環(式(1)中のZ¹の部位)に、1~3個の炭素数1~3のアルキル基を置換基として有するという特徴的な構造を有している。ポリエステル樹脂がこの特徴的な構造を有することで、式(1)中のZ¹の部位が空間を押しのける体積が大きくなり、ポリエステル樹脂内、ポリエステル樹脂の分子間でポリエステルの構造単位の折り重なりが抑制されていると推測される。それにより、ポリエステル樹脂の分子の間に微小さな空隙が生まれて、正孔輸送物質が程良い大きさで入り込みやすくなっていると推測している。その結果、正孔輸送物質同士の凝集が抑制され、フォトメモリーが抑制されていると推測している。

20

【0027】

本発明の電子写真感光体は、支持体、該支持体上に形成されている電荷発生層及び該電荷発生層上に形成されている正孔輸送層を有する。

【0028】

図1は、電子写真感光体の層構成の一例を示す図である。図1中、支持体101上に、下引き層102、電荷発生層103、正孔輸送層104がこの順に形成されている。

30

【0029】

一般的な電子写真感光体として、円筒状支持体上に電荷発生層、正孔輸送層を形成してなる円筒状の電子写真感光体が広く用いられるが、ベルト状、シート状の如き形状とすることも可能である。

【0030】

〔正孔輸送層〕

正孔輸送層には、式(1)で示される構造単位を有するポリエステル樹脂と正孔輸送物質を含有する。

【0031】

〈ポリエステル樹脂〉

40

式(1)中のZ¹は、シクロヘキシリデン基(6員環のシクロアルキリデン基)であることが好ましい。これは、6員環が最も安定な配座を取ることで、ひずみエネルギーが小さくなり、分子の剛直性を緩和する効果があると推測している。Z¹が、3員環と4員環及び9員環以上のシクロアルキリデン基の場合、ひずみエネルギーが大きいために安定構造を取りにくくなることで分子が剛直になり、ポリエステル樹脂の分子間に正孔輸送物質が入り込みにくくなると推測される。

【0032】

また、式(1)中、1~3個の炭素数1~3のアルキル基は、ポリエステル樹脂の芳香族ジオール部位の2つの芳香族環に結合する炭素原子C_zに対して、C_zを通る対称面の対称要素を有しないようなシクロアルキリデン基の置換位置に置換されていることが好ま

50

しい。対称面の対称要素は、例えば、アトキンス物理化学（上巻）第8版p.427-428で説明されている。面対称な鏡像の位置へ移動させる操作を反射と呼ぶが、対称面とは、その反射を定義する面（鏡面）のことを表す点群の用語である。例えば、 Z^1 が無置換のシクロヘキシリデン基の場合、 C_z のアキシャル（axial）を主軸方向として捉えると、 C_z のアキシャルとエクアトリアル（equatorial）を含む面が対称面_vになる。

【0033】

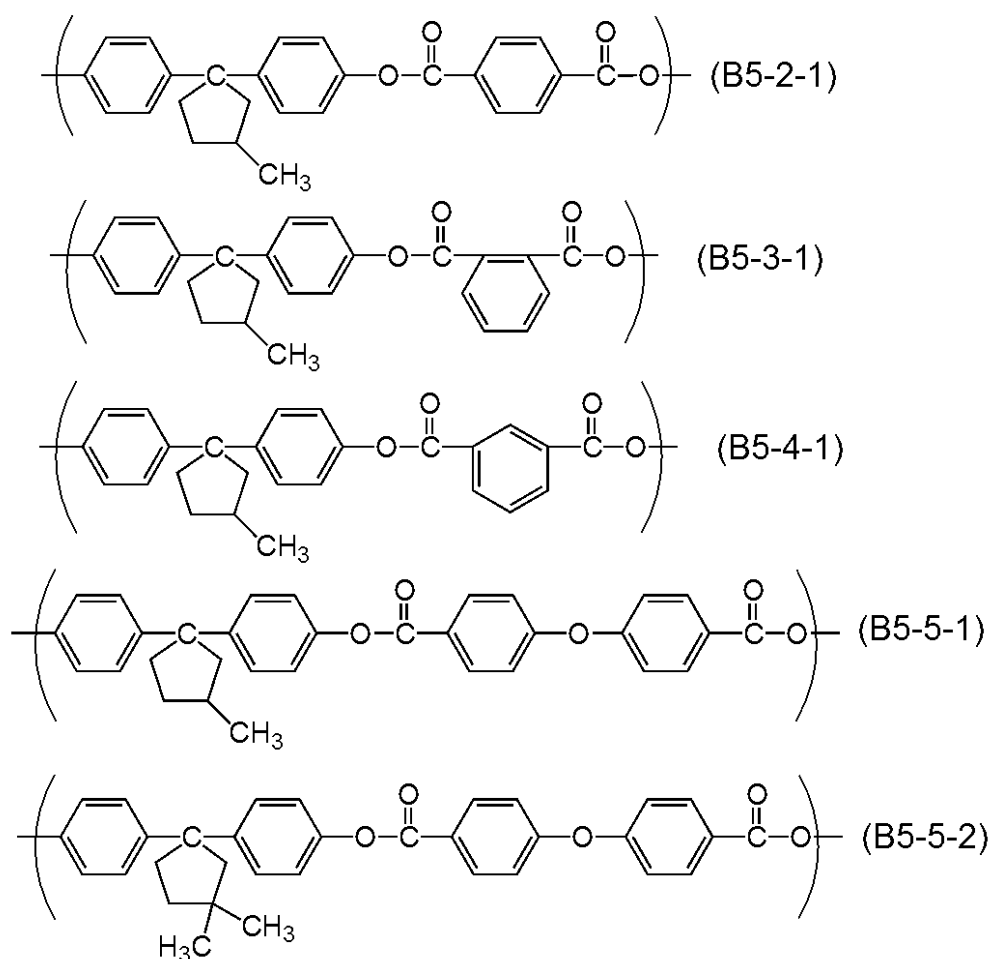
1～3個の炭素数1～3のアルキル基が上述の位置に置換されていることは、ポリエステル樹脂の分子の折り重なりの度合いと、ポリエステル樹脂と正孔輸送物質との相溶性といった観点から好ましいと推測される。上述のように、1～3個の炭素数1～3のアルキル基が置換されて分子の対称性が低くなることで、ポリエステル樹脂の構造単位がさらに折り重なりにくくなると推測される。また、ポリエステル樹脂と正孔輸送物質との相溶性が高くなることで、正孔輸送物質の凝集や結晶化がより抑制され、正孔輸送層をより厚膜にしやすくなると推測される。

【0034】

以下に、式（1）で示されるポリエステル樹脂の具体例を示すが、これらに限定されるものではない。

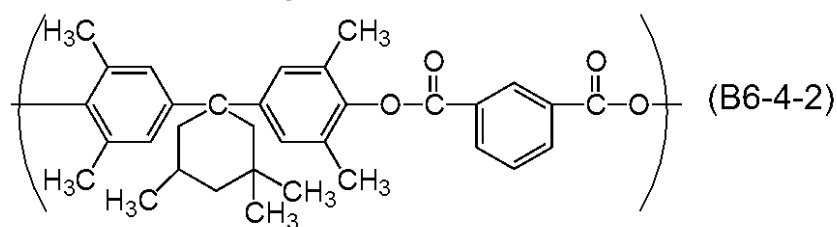
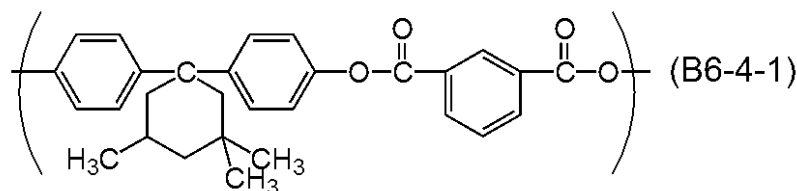
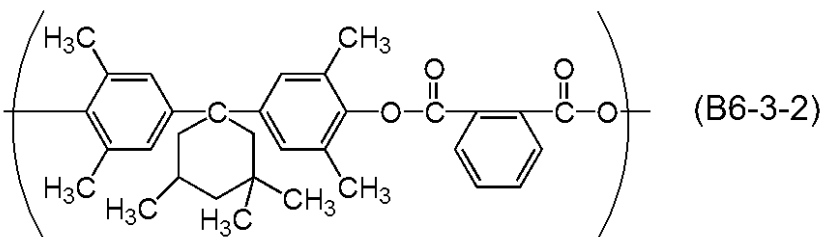
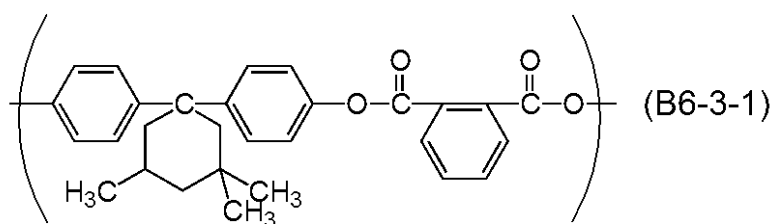
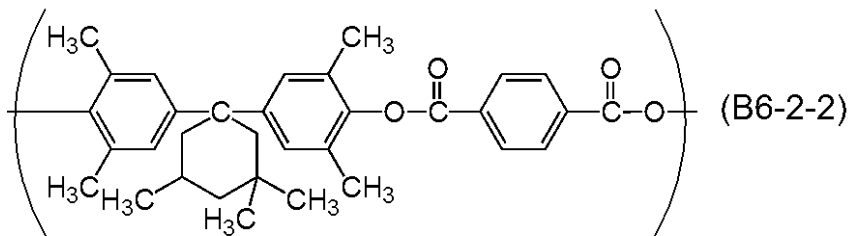
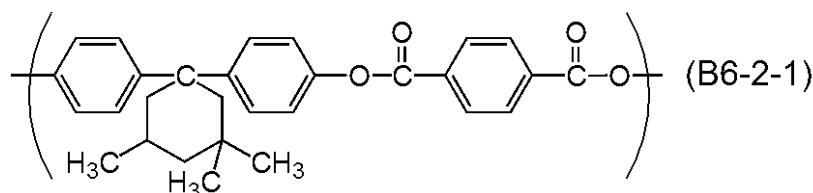
【0035】

【化4】



【0036】

【化5】



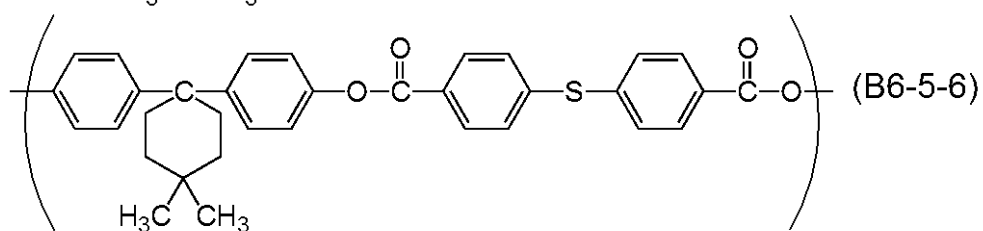
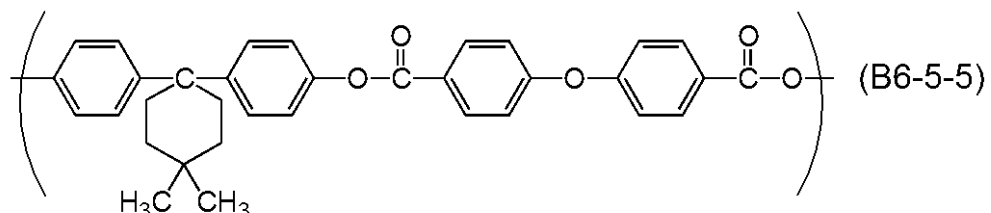
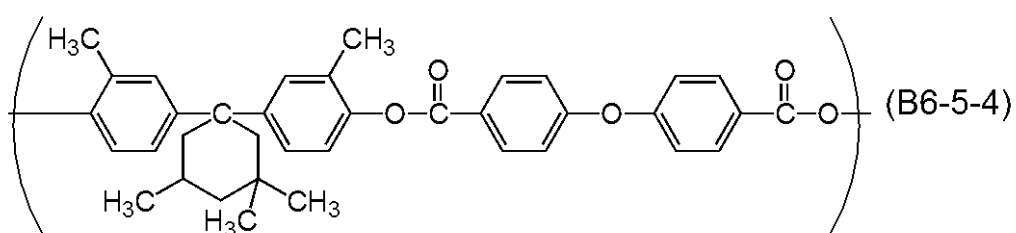
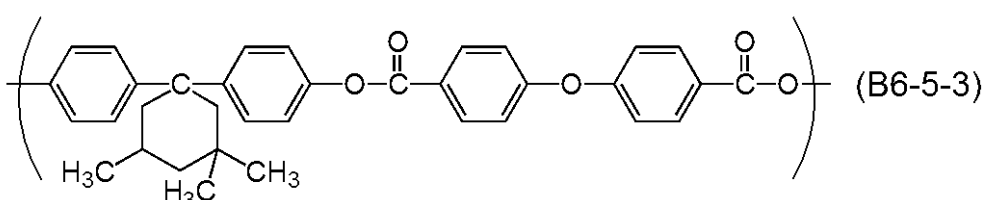
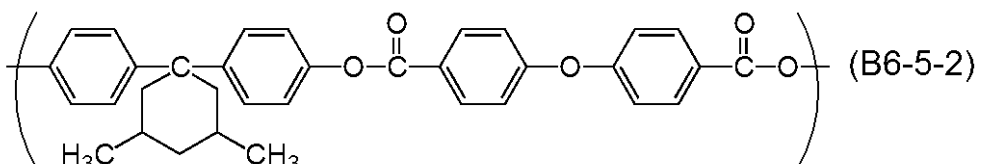
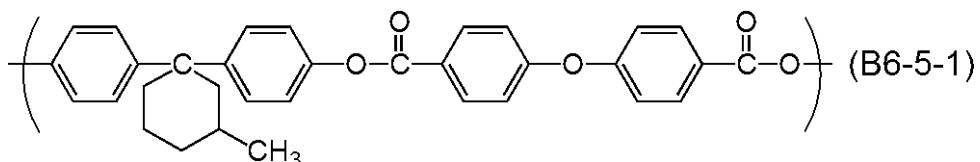
【0037】

10

20

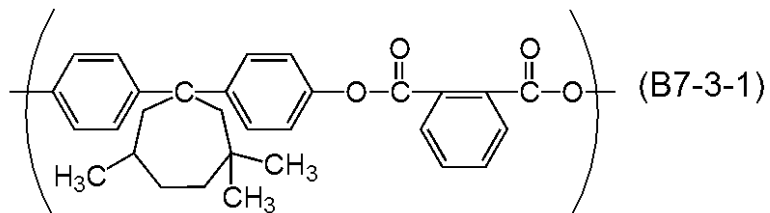
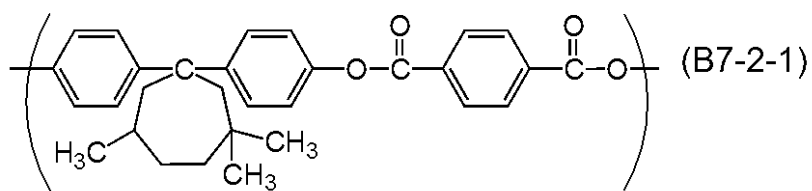
30

【化6】

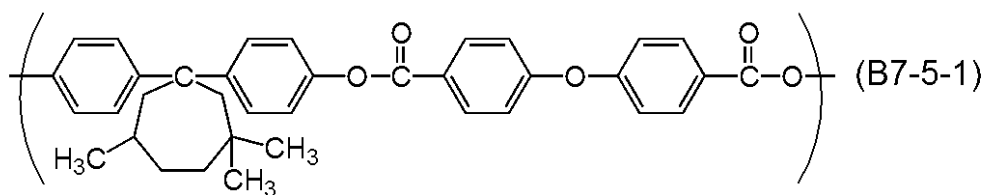
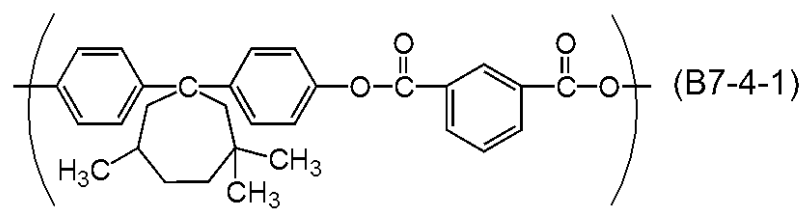


【0038】

【化7】



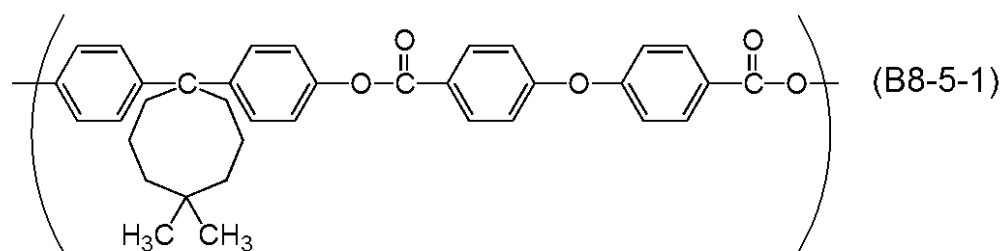
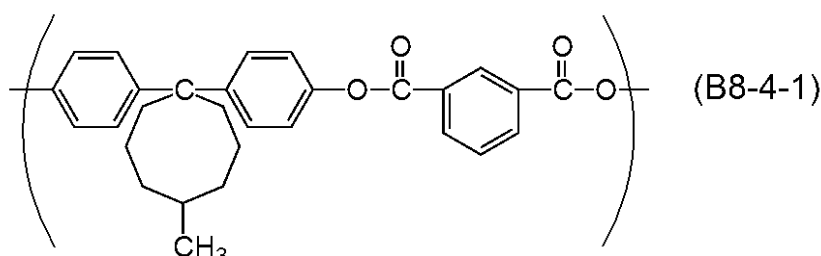
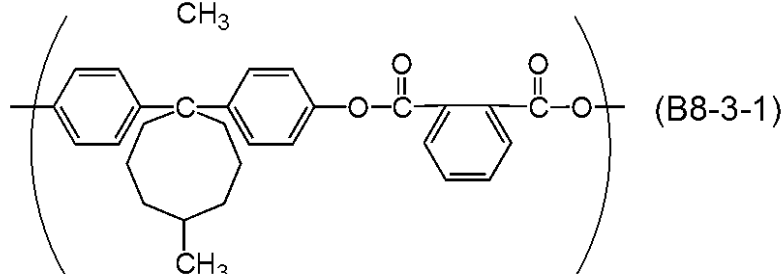
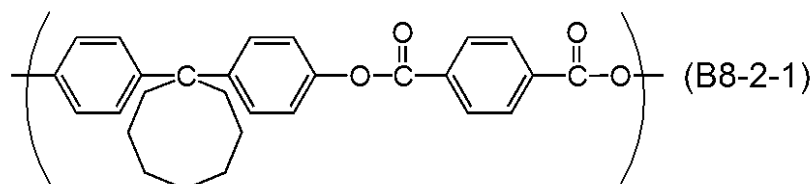
10



20

【0039】

【化8】



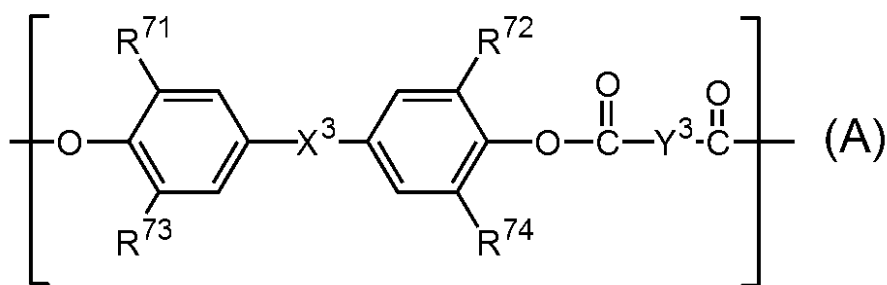
【0040】

30

式(1)で示される構造単位を有するポリエステル樹脂は、さらに、下記式(A)で示される構造単位を有してもよい。

【0041】

【化9】



【0042】

40

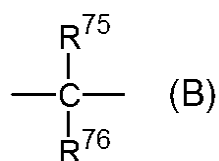
式中、R⁷¹～R⁷⁴は、それぞれ独立に、水素原子、メチル基、又はフェニル基を示す。X³は、単結合、酸素原子、シクロヘキシリデン基、又は下記式(B)で示される2価の基を示す。Y³はm-フェニレン基、p-フェニレン基、シクロヘキシレン基、又は2つのフェニレン基が酸素原子を介して結合して導かれる2価の基を示す。

R⁷¹～R⁷⁴は、メチレン基であることが好ましい。

【0043】

50

【化10】



【0044】

式中、 R^{75} および R^{76} は、それぞれ独立に、水素原子、メチル基、エチル基又はフェニル基を示す。これらの中でも、水素原子、またはメチル基が好ましい。

【0045】

正孔輸送層に用いられる結着樹脂としては、式(1)で示される構造単位を有するポリエステル樹脂の他にも、以下に挙げる樹脂を用いても良い。例えば、式(1)で示される構造単位以外の構造単位を有するポリエステル樹脂、ポリカーボネート樹脂、ポリメタクリル酸エステル樹脂、ポリサルホン樹脂、ポリスチレン樹脂が挙げられる。これらの樹脂は、本発明の効果の観点から、式(1)で示される構造単位を有するポリエステル樹脂に対して、200質量%以下であることが好ましい。

【0046】

上記の樹脂は、それぞれ別個の樹脂を複数種類ブレンドして用いてもよく、またこれらを共重合させて用いてもよい。結着樹脂の重量平均分子量は、10,000~300,000の範囲であることが好ましく、50,000~150,000の範囲がより好ましい。

【0047】

<正孔輸送物質>

正孔輸送層に含有される正孔輸送物質としては、例えば、多環芳香族化合物、複素環化合物、ヒドラゾン化合物、スチリル化合物、エナミン化合物、ベンジジン化合物、トリアリールアミン化合物、又はトリフェニルアミンが挙げられる。また、正孔輸送物質としては、これらの化合物から誘導される基を主鎖又は側鎖に有するポリマーも挙げられる。

【0048】

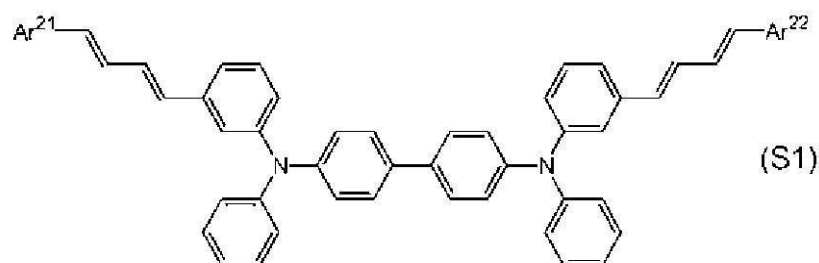
正孔輸送物質の分子量が700以上1200以下であると、フォトメモリーの改善効果が優れるため、より好ましい。これは後述の実施例1~18より、正孔輸送物質の分子量が700以上1200以下である実施例11~18が正孔輸送物質の分子量が700未満である実施例1~10と比較してフォトメモリーの改善量が大きくなることが示されていることによる。分子量がこの範囲であると、式(1)で示される構造単位を有するポリエステル樹脂を使用した場合には、ポリエステル樹脂内、樹脂の分子間で生まれる空隙に正孔輸送物質が適量入り込むことで、フォトメモリーを改善させる効果が大きいと推測される。より好ましくは、正孔輸送物質の分子量は700以上1000以下である。

【0049】

分子量が700以上1200以下である正孔輸送物質の中でも、下記式(S1)で示される化合物、又は、下記式(S2)で示される化合物であることが、フォトメモリーの改善の観点からより好ましい。

【0050】

【化11】



10

20

30

40

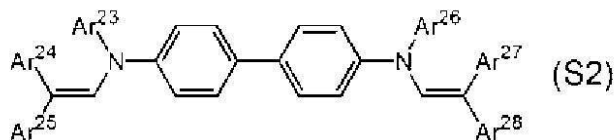
50

【0051】

式中、 $\text{Ar}^{2\text{1}}$ 及び $\text{Ar}^{2\text{2}}$ は、それぞれ独立にフェニル基又はメチル基で置換されているフェニル基を示す。

【0052】

【化12】



10

【0053】

式中 $\text{Ar}^{2\text{3}}$ ~ $\text{Ar}^{2\text{8}}$ は、それぞれ独立にフェニル基又はメチル基で置換されているフェニル基を示す。

【0054】

正孔輸送層において、正孔輸送物質と結着樹脂との質量比率（正孔輸送物質 / 結着樹脂）は、10 / 5 ~ 5 / 10 の範囲であることが好ましく、10 / 8 ~ 6 / 10 の範囲であることがより好ましい。正孔輸送層の膜厚は、5 μm 以上 40 μm 以下であることが好ましい。

【0055】

20

正孔輸送層を形成するための塗布液に用いられる溶剤は、アルコール系溶剤、スルホキシド系溶剤、ケトン系溶剤、エーテル系溶剤、エステル系溶剤又は芳香族炭化水素溶剤が挙げられる。

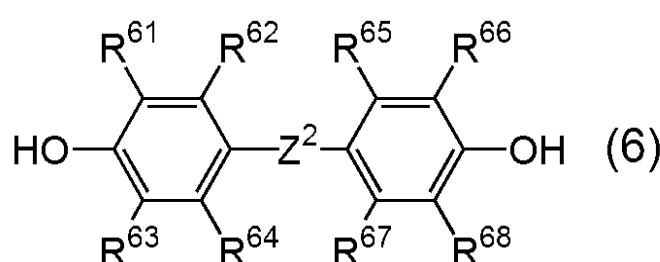
【0056】

また、式(1)で示される構造単位を有するポリエステル樹脂中の、下記式(6)で示されるジオール化合物の含有量は、100 ppm 以下であることが好ましい。100 ppm 以下であると、電荷輸送能力の低下がより抑制され、フォトメモリーの発生をより抑制する。

【0057】

【化13】

30



【0058】

式(6)中、 $\text{R}^{6\text{1}}$ ~ $\text{R}^{6\text{8}}$ は、それぞれ独立に、水素原子、メチル基又はアリール基を示す。 Z^2 は、5 ~ 8員環の置換のシクロアルキリデン基を示し、該置換のシクロアルキリデン基は、置換基として1 ~ 3個の炭素数1 ~ 3のアルキル基を有する。

40

【0059】

さらに、ポリエステル樹脂中に含有する芳香族ジカルボン酸の含有量は、50 ppm 以下であることが好ましい。50 ppm 以下であると、電気的特性の安定性がより良好に維持されるため好ましい。

【0060】

これら、式(6)で示されるジオール化合物と芳香族ジカルボン酸の含有量（残留量）が多い場合には、除去することが望ましい。除去方法としては、水又はイオン交換水による洗浄が好ましく、より優れた洗浄効果を得るには、加温された水又はイオン交換水によ

50

る洗浄が好ましい。ただし、水又はイオン交換水を加温する場合には、樹脂の分解を抑制するため、温度 30 以上 80 以下であることが好ましく、温度 50 以下であることがより好ましい。

【 0 0 6 1 】

また、正孔輸送層上には、導電性粒子又は正孔輸送物質と結着樹脂とを含有する保護層（表面保護層）を設けてもよい。保護層には、潤滑剤の如き添加剤をさらに含有させてもよい。また、保護層の結着樹脂自体に導電性や正孔輸送性を有させててもよく、その場合、保護層には、当該樹脂以外の導電性粒子や正孔輸送物質を含有させなくてもよい。また、保護層の結着樹脂は、熱可塑性樹脂でもよいし、熱、光、放射線（電子線など）により硬化させてなる硬化性樹脂であってもよい。

10

【 0 0 6 2 】

導電層、下引き層、電荷発生層、正孔輸送層などの電子写真感光体を構成する各層を形成する方法としては、以下の方法が挙げられる。各層を構成する材料を溶剤に溶解及び／又は分散させて得られた塗布液を塗布して塗膜を形成し、塗膜を乾燥及び／又は硬化させることによって形成する方法が好ましい。塗布液を塗布する方法としては、例えば、浸漬塗布法（浸漬コーティング法）、スプレーコーティング法、カーテンコーティング法、スピンドルコーティング法、リング法が挙げられる。これらの中でも、効率性及び生産性の観点から、浸漬塗布法が好ましい。

【 0 0 6 3 】

〔 支持体 〕

20

支持体としては、導電性を有するもの（導電性支持体）が好ましく、例えば、アルミニウム、鉄、ニッケル、銅、金の如き金属又は合金製の支持体を用いることができる。ポリエスチル樹脂、ポリカーボネート樹脂、ポリイミド樹脂、ガラスの如き絶縁性支持体上にアルミニウム、クロム、銀、金の如き金属の薄膜を形成した支持体が挙げられる。また、絶縁支持体上に酸化インジウム、酸化スズ、酸化亜鉛の如き導電性材料の薄膜や、銀ナノワイヤーを加えた導電性インクの薄膜を形成した支持体が挙げられる。

【 0 0 6 4 】

支持体の表面には、電気的特性の改善や干渉縞の抑制のため、陽極酸化の如き電気化学的な処理や、湿式ホーニング処理、プラスト処理、切削処理を施してもよい。

【 0 0 6 5 】

〔 導電層 〕

30

支持体と下引き層との間には、導電層を設けてもよい。

【 0 0 6 6 】

導電層は、導電性粒子を結着樹脂に分散させた導電層用塗布液の塗膜を支持体上に形成し、この塗膜を乾燥させることで得られる。導電性粒子としては、例えば、カーボンブラック、アセチレンブラックや、アルミニウム、鉄、ニッケル、銅、亜鉛、銀のような金属粉や、導電性酸化亜鉛、酸化スズ、ITOのような金属酸化物粉体が挙げられる。

【 0 0 6 7 】

また、結着樹脂としては、例えば、ポリエスチル樹脂、ポリカーボネート樹脂、ポリビニルブチラール樹脂、アクリル樹脂、シリコーン樹脂、エポキシ樹脂、メラミン樹脂、ウレタン樹脂、フェノール樹脂、アルキッド樹脂が挙げられる。

40

【 0 0 6 8 】

導電層用塗布液の溶剤としては、例えば、エーテル系溶剤、アルコール系溶剤、ケトン系溶剤、芳香族炭化水素溶剤が挙げられる。導電層の膜厚は、0.2 μm 以上 40 μm 以下であることが好ましく、1 μm 以上 35 μm 以下であることがより好ましく、さらには 5 μm 以上 30 μm 以下であることがより好ましい。

【 0 0 6 9 】

〔 下引き層 〕

支持体上に下引き層を設けてもよく、又は、導電層と電荷発生層との間に下引き層を設けてもよい。

50

【0070】

下引き層は、結着樹脂を含有する下引き層用塗布液の塗膜を形成し、この塗膜を乾燥させることで得られる。

【0071】

下引き層の結着樹脂としては、例えば、ポリアクリル酸類、メチルセルロース、エチルセルロース、ポリアミド樹脂、ポリイミド樹脂、ポリアミドイミド樹脂、ポリアミド酸樹脂、ウレタン樹脂、メラミン樹脂、エポキシ樹脂が挙げられる。また、アセタール樹脂やアルキッド樹脂の如き重合性官能基を有する熱可塑性樹脂と、イソシアネート化合物の如き重合性官能基を有するモノマーとを熱重合（硬化）させた架橋構造を持ったポリマーであってもよい。

10

【0072】

下引き層の膜厚は、0.05 μm以上40 μm以下であることが好ましく、0.05 μm以上7 μm以下であることがより好ましく、さらには0.1 μm以上2 μm以下であることがより好ましい。

【0073】

また、電荷発生層で発生した電荷が滞留しないようにするため、下引き層中に電子輸送物質又は半導電性粒子を含有させてもよい。

【0074】

〔電荷発生層〕

支持体、導電層又は下引き層上には、電荷発生層が設けられる。

20

【0075】

電荷発生物質としては、アゾ顔料、ペリレン顔料、アントラキノン誘導体、アントアントロン誘導体、ジベンズピレンキノン誘導体、ピラントロン誘導体、ビオラントロン誘導体、イソビオラントロン誘導体、インジゴ誘導体、チオインジゴ誘導体、フタロシアニン顔料、ビスベンズイミダゾール誘導体が挙げられる。これらの中でも、アゾ顔料又はフタロシアニン顔料が好ましい。フタロシアニン顔料の中でも、オキシチタニウムフタロシアニン、クロロガリウムフタロシアニン、ヒドロキシガリウムフタロシアニンが好ましい。

【0076】

電荷発生層に用いられる結着樹脂としては、スチレン、酢酸ビニル、塩化ビニル、アクリル酸エステル、メタクリル酸エステル、フッ化ビニリデン、トリフルオロエチレンの如きビニル化合物の重合体及び共重合体や、ポリビニルアルコール樹脂、ポリビニルアセタール樹脂、ポリカーボネート樹脂、ポリエステル樹脂、ポリスルホン樹脂、ポリフェニレンオキサイド樹脂、ポリウレタン樹脂、セルロース樹脂、フェノール樹脂、メラミン樹脂、ケイ素樹脂、エポキシ樹脂が挙げられる。これらの中でも、ポリエステル樹脂、ポリカーボネート樹脂、ポリビニルアセタール樹脂が好ましく、特に、ポリビニルアセタール樹脂がより好ましい。

30

【0077】

電荷発生層において、電荷発生物質と結着樹脂との質量比率（電荷発生物質 / 結着樹脂）は、10 / 1 ~ 1 / 10 の範囲であることが好ましく、5 / 1 ~ 1 / 5 の範囲であることがより好ましい。電荷発生層の膜厚は、0.05 μm以上5 μm以下であることが好ましい。電荷発生層用塗布液に用いられる溶剤は、アルコール系溶剤、スルホキシド系溶剤、ケトン系溶剤、エーテル系溶剤、エステル系溶剤又は芳香族炭化水素溶剤が挙げられる。

40

【0078】

〔プロセスカートリッジ及び電子写真装置〕

図2に、電子写真感光体を備えたプロセスカートリッジを有する電子写真装置の概略構成の一例を示す。

【0079】

図2において、円筒状の電子写真感光体1は、軸2を中心に矢印方向に所定の周速度で回転駆動される。回転駆動される電子写真感光体1の表面（周面）は、帯電手段3（一次

50

帯電手段：帯電ローラーなど)により、正又は負の所定電位に均一に帯電される。次いで、スリット露光やレーザービーム走査露光などの露光手段(不図示)からの露光(画像露光)4を受ける。こうして電子写真感光体1の表面に、目的の画像に対応した静電潜像が順次形成されていく。

【0080】

電子写真感光体1の表面に形成された静電潜像は、次いで現像手段5の現像剤に含まれるトナーにより現像されて電子写真感光体1にトナー像を形成する。次いで、電子写真感光体1の表面のトナー像が、転写手段(転写ローラーなど)6からの転写バイアスによって、転写材(紙など)Pに順次転写されていく。電子写真感光体1の表面のトナー像は、中間転写体を介して転写材(紙など)へ転写しても良い。なお、転写材Pは、転写材供給手段(不図示)から電子写真感光体1と転写手段6との間(当接部)に電子写真感光体1の回転と同期して取り出されて給送される。

10

【0081】

トナー像が転写された転写材Pは、電子写真感光体1の表面から分離されて定着手段8へ導入されてトナー像が定着されることにより画像形成物(プリント、コピー)として装置外へ排出される。

【0082】

トナー像の転写後の電子写真感光体1の表面は、クリーニング手段(クリーニングブレードなど)7によって転写残りの現像剤(トナー)が電子写真感光体1の表面から除去される。次いで、前露光手段(不図示)からの前露光(不図示)により除電処理された後、繰り返し画像形成に使用される。なお、図2に示すように、帯電手段3が帯電ローラーの如き接触帯電手段である場合は、前露光は必ずしも必要ではない。

20

【0083】

上記の電子写真感光体1、帯電手段3、現像手段5、転写手段6及びクリーニング手段7などの構成要素のうち、複数のものを選択して容器に納めてプロセスカートリッジとして一体に結合して構成してもよい。そして、このプロセスカートリッジを複写機やレーザービームプリンターの如き電子写真装置本体に対して着脱自在に構成してもよい。図2では、電子写真感光体1と、帯電手段3、現像手段5及びクリーニング手段7とを一体に支持してカートリッジ化している。そして、電子写真装置本体のレールなどの案内手段10を用いて電子写真装置本体に着脱自在なプロセスカートリッジ9としている。

30

【0084】

〔トナー〕

本発明の電子写真感光体を備えたプロセスカートリッジ及び電子写真装置に用いられるトナーは、球形に近いものが好ましい。すなわち、トナーは、平均円形度0.93以上1.00以下が好ましく、0.95以上0.99以下がより好ましい。この範囲であると、ポリエスチル樹脂の機械的劣化の抑制と、トナーのクリーニング性とを両立することが可能である。

【0085】

また、トナーの体積平均粒径は、3~10μmが好ましく、5~8μmがより好ましい。

40

【0086】

さらに、トナーの体積平均粒径を個数平均粒径で割った値は、1.0以上1.3以下が好ましく、1.0以上1.2以下がより好ましい。この範囲であると、電子写真感光体でフォトメモリーが生じている場合において、フォトメモリーが画像品質に与える影響を軽減しやすい。

【実施例】

【0087】

以下、実施例により、本発明をより詳細に説明するが、本発明はこれらの実施例に限定されるものではない。なお、実施例中の「部」は「質量部」を意味する。

【0088】

50

(実施例 1)

長さ 260.5 mm、直径 30 mm のアルミニウムシリンダー (JIS-A3003、アルミニウム合金) を支持体 (導電性支持体) とした。

【0089】

次に、酸素欠損型酸化スズが被覆されている酸化チタン粒子 (金属酸化物粒子) 214 部、フェノール樹脂 (商品名: プライオーフェン J - 325、大日本インキ化学工業 (株) 製、樹脂固形分: 60 質量%) 132 部及び 1 - メトキシ - 2 - プロパノール 98 部を、直径 0.8 mm のガラスピーツ 450 部を用いたサンドミルに入れ、回転数 2000 rpm、分散処理時間 4.5 時間、冷却水の設定温度 18 の条件で分散処理を行い、分散液を調製した。分散後、この分散液からメッシュ (目開き: 150 μm) でガラスピーツ 10 を取り除いた。ガラスピーツを取り除いた後の分散液中の金属酸化物粒子と結着樹脂の合計質量に対して 10 質量% になるように、シリコーン樹脂粒子 (商品名: トスパール 120、モメンティブ・パフォーマンス・マテリアルズ (株) 製、平均粒径 2 μm) を分散液に添加した。また、分散液中の金属酸化物粒子と結着樹脂の合計質量に対して 0.01 質量% になるように、レベリング剤としてのシリコーンオイル (商品名: SH28PA、東レ・ダウコーニング (株) 製) を分散液に添加し、搅拌して、導電層用塗布液を調製した。この導電層用塗布液を支持体上に浸漬塗布して塗膜を形成し、得られた塗膜を 30 分間温度 150 で乾燥・熱硬化することによって、膜厚が 30 μm の導電層を形成した。

【0090】

次に、N - メトキシメチル化 6 - ナイロン樹脂 (商品名: トレジン EF - 30T、ナガセケムテックス (株) 製) 15 部と共に重合ナイロン樹脂 (商品名: アミラン CM8000、東レ (株) 製) 5 部を、メタノール 220 部と 1 - ブタノール 110 部の混合溶剤に溶解し、下引き層用塗布液を調製した。この下引き層用塗布液を導電層上に浸漬塗布して塗膜を形成し、得られた塗膜を 10 分間温度 100 で乾燥することによって、膜厚 0.65 μm の下引き層を形成した。 20

【0091】

次に、CuK 特性 X 線回折におけるプラグ角 (2 \pm 0.2°) の 27.3° にピークを有する Y 型オキシチタニウムフタロシアニン結晶 (電荷発生物質) を用意した。この Y 型オキシチタニウムフタロシアニン結晶 10 部、ブチラール樹脂 (商品名: エスレック BX - 1、積水化学工業 (株) 製) 5 部及びシクロヘキサン 260 部を、直径 1 mm のガラスピーツを用いたサンドミルに入れ、1.5 時間分散処理して分散液を調製した。次に、この分散液に酢酸エチル 240 部を加えることによって、電荷発生層用塗布液を調製した。この電荷発生層用塗布液を、下引き層上に浸漬塗布して塗膜を形成し、得られた塗膜を 10 分間温度 80 で乾燥することによって、膜厚が 0.20 μm の電荷発生層を形成した。 30

【0092】

次に、下記式 (7) で示されるアミン化合物 (正孔輸送物質、分子量: 390) 17 部、式 (B6 - 2 - 1) で示される構造単位と、式 (B6 - 4 - 1) で示される構造単位とを 5 / 5 の割合 (モル比) で有するポリエステル樹脂 (重量平均分子量: 90,000) 20 部、ヒンダードフェノール系酸化防止剤 (商品名: IRGANOX 1076、BASF ジャパン (株) 製) 2 部及びジメチルシリコーンオイル (商品名: KF96、信越化学 (株) 製) 0.02 部を、テトラヒドロフラン 75 部とキシレン 75 部の混合溶剤に溶解することによって、正孔輸送層用塗布液を調製した。この正孔輸送層用塗布液を、電荷発生層上に浸漬塗布して塗膜を形成し、得られた塗膜を 60 分間温度 125 で乾燥することによって、膜厚が 25 μm の正孔輸送層を形成した。 40

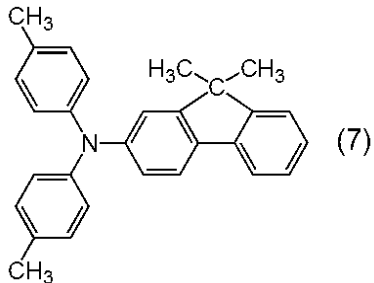
【0093】

なお、式 (B6 - 2 - 1)、式 (B6 - 4 - 1) で示されるポリエステル樹脂中の、式 (6) で示されるジオール類化合物の含有量は、以下のように測定した。このポリエステル樹脂をアセトニトリル中に 10 分間浸漬し、ポリエステル樹脂中の残留物の抽出液を得た。その抽出液中に含まれるジオール類化合物の含有量を、予め検量線を作製しておくこ 50

とにより、ガスクロマトグラフィーを用いて測定した。測定の結果、50 ppm含有していた。

【0094】

【化14】



10

【0095】

以上のようにして、支持体上に導電層、下引き層、電荷発生層及び正孔輸送層を有する電子写真感光体を製造した。

【0096】

(フォトメモリーの評価)

評価機として、ヒューレットパッカード(株)製のレーザービームプリンター(商品名: HP LaserJet Enterprise 600 M603、プリント速度: A4縦60枚/分)を改造し、評価をした。改造点は、電子写真感光体の帯電電位やレーザー光源の露光量を調整できるように行った。電子写真感光体の帯電電位は-600V、レーザー光源の露光量は0.40 μJ/cm²となるように設定した。

20

【0097】

温度23、湿度50%RHの環境下にて、製造した電子写真感光体の一部に2,000 Luxの白色蛍光灯の光(白色光)を15分間当て、5分間光を遮断して放置した。次に、上記帯電電位、レーザー光源の露光量で部分的に白色光を照射した電子写真感光体を帯電、露光を行った。その後、帯電、露光を行った電子写真感光体の白色光を当てた部位と、帯電、露光を行った電子写真感光体の白色光を当てない部位との表面電位を測定した。白色光を当てた部位と白色光を当てない部位の表面電位の差を、フォトメモリーV_{PM}の値として用いた。さらに、以下の実施例において、比較例とのフォトメモリーの差(V_{PM})をフォトメモリー改善量として求めた。

30

【0098】

電子写真感光体の表面電位の測定は、以下のようにおこなった。まず、上記レーザービームプリンター用のプロセスカートリッジを改造し、現像位置に電位プローブ(商品名: Model 6000B-8、トレック・ジャパン(株)製)を装着した。次に、電子写真感光体の中央部(端部から130mmの位置)の電位を表面電位計(商品名: Model 344、トレック・ジャパン(株)製)を使用して測定した。結果を、表1に示す。なお、フォトメモリー改善量は、比較例2と実施例1のフォトメモリーの差分として求めた。

30

【0099】

次いで、フォトメモリーの測定後、ハーフトーン画像を連続形成した。得られたハーフトーン画像で、電子写真感光体の白色光を当てた部位と白色光を当てない部位のハーフトーン画像の濃度差を、目視で確認した。その結果、ハーフトーン画像上に、白色光を当てた部位と白色光を当てない部位のハーフトーン画像の濃度差は、観察されなかった。

40

【0100】

(実施例2)

実施例1のポリエステル樹脂を、式(B6-5-3)で示される構造単位を有するポリエステル樹脂(重量平均分子量: 96,000)に変更した以外は実施例1と同様に電子写真感光体を製造し、同様にフォトメモリーの評価を行った。結果を、表1に示す。なお、フォトメモリー改善量は、比較例1と実施例2のフォトメモリーの差分として求めた。

50

[0 1 0 1]

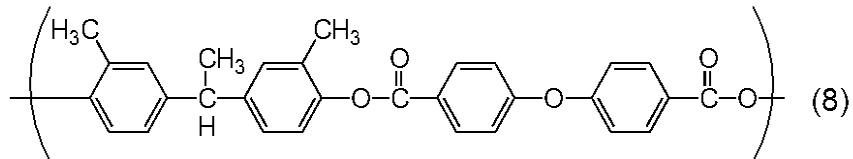
(实施例 3)

実施例1のポリエステル樹脂20部を、式(B6-5-3)で示される構造単位を有するポリエステル樹脂10部(重量平均分子量:96,000)と、下記式(8)で示される構造単位を有するポリエステル樹脂10部(重量平均分子量:90,000)に変更した。それ以外は実施例1と同様に電子写真感光体を製造し、同様にフォトメモリーの評価を行った。結果を、表1に示す。なお、フォトメモリー改善量は、比較例2と実施例3のフォトメモリーの差分として求めた。

【 0 1 0 2 】

【化 1 5 】

10



【 0 1 0 3 】

(实施例 4)

実施例1のポリエステル樹脂を、式(B6-5-3)で示される構造単位と、式(8)で示される構造単位を5/5の割合(モル比)で有するポリエステル樹脂(重量平均分子量:94,000)に変更した。それ以外は実施例1と同様に電子写真感光体を製造し、同様にフォトメモリーの評価を行った。結果を、表1に示す。なお、フォトメモリー改善量は、比較例2と実施例4のフォトメモリーの差分として求めた。

20

[0 1 0 4]

(实施例 5)

実施例 1 のポリエステル樹脂を、式 (B 5 - 5 - 1) で示される構造単位を有するポリエステル樹脂 (重量平均分子量: 80,000) に変更した以外は実施例 1 と同様に電子写真感光体を製造し、同様にフォトメモリーの評価を行った。結果を、表 1 に示す。なお、フォトメモリー改善量は、比較例 1 と実施例 5 のフォトメモリーの差分として求めた。

[0 1 0 5]

(実施例 6)

30

実施例 1 のポリエステル樹脂を、式 (B 6 - 5 - 5) で示される構造単位を有するポリエステル樹脂 (重量平均分子量: 96,000) に変更した以外は実施例 1 と同様に電子写真感光体を製造し、同様にフォトメモリーの評価を行った。結果を、表 1 に示す。なおフォトメモリー改善量は、比較例 1 と実施例 6 のフォトメモリーの差分として求めた。

[0 1 0 6 1]

(実施例 7)

実施例1のポリエステル樹脂を、式(B7-5-1)で示される構造単位を有するポリエステル樹脂(重量平均分子量:100,000)に変更した以外は実施例1と同様に電子写真感光体を製造し、同様にフォトメモリーの評価を行った。結果を、表1に示す。なお、フォトメモリー改善量は、比較例1と実施例7のフォトメモリーの差分として求めた

40

5.2.1.2.7.1

6 実施例 2

実施例 1 のポリエステル樹脂を、式 (B 8 - 5 - 1) で示される構造単位を有するポリエステル樹脂 (重量平均分子量: 83,000) に変更した以外は実施例 1 と同様に電子写真感光体を製造し、同様にフォトメモリーの評価を行った。結果を、表 1 に示す。なおコントラスト比改善量は、比較例 1 と実施例 3 のコントラスト比の差分として求めた。

、 フォトス

01081

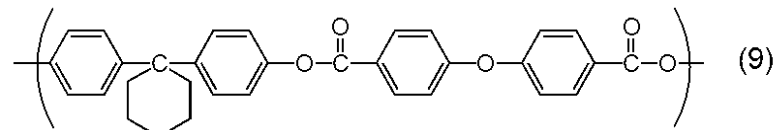
(比較例 1) ポリエチレン樹脂を、下記式(8)で示される構造活性有するポリエチレン

58

ル樹脂（重量平均分子量：89,000）に変更した以外は実施例1と同様に電子写真感光体を製造し、同様にフォトメモリーの評価を行った。結果を、表1に示す。

【0109】

【化16】



【0110】

（比較例2）

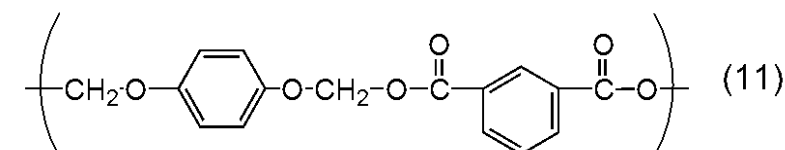
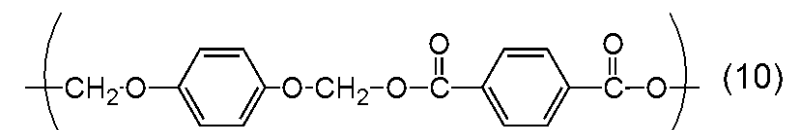
実施例1のポリエステル樹脂を、下記式(10)で示される構造単位と、下記式(11)で示される構造単位を5/5の割合（モル比）で有するポリカーボネート樹脂（重量平均分子量：60,000）に変更した。それ以外は実施例1と同様に電子写真感光体を製造し、同様にフォトメモリーの評価を行った。結果を、表1に示す。

【0111】

次いで、フォトメモリーの測定後、ハーフトーン画像を連続形成した。得られたハーフトーン画像で、電子写真感光体の白色光を当てた部位と白色光を当てない部位のハーフトーン画像の濃度差を、目視で確認した。その結果、ハーフトーン画像上に、白色光を当てた部位と白色光を当てない部位のハーフトーン画像の濃度差は、少し観察された。

【0112】

【化17】



【0113】

10

20

30

【表1】

(表1)

実施例	正孔輸送物質		樹脂	式(6)の含有量	フォトメモリー	フォトメモリーの改善量
	構造式	分子量				
1	式(7)	390	式(B6-2-1)/式(B6-4-1)の共重合体(5/5)	50ppm	30V	19V
2	式(7)	390	式(B6-5-3)	50ppm	29V	17V
3	式(7)	390	式(B6-5-3)と式(8)のブレンド(5/5)	25ppm	39V	10V
4	式(7)	390	式(B6-5-3)と式(8)の共重合体(5/5)	25ppm	36V	13V
5	式(7)	390	式(B5-5-1)	50ppm	32V	14V
6	式(7)	390	式(B6-5-5)	50ppm	33V	13V
7	式(7)	390	式(B7-5-1)	50ppm	33V	13V
8	式(7)	390	式(B8-5-1)	50ppm	34V	13V

比較例	正孔輸送物質		樹脂	式(6)の含有量	フォトメモリー
	構造式	分子量			
1	式(7)	390	式(9)	—	46V
2	式(7)	390	式(10)と式(11)の共重合体(5/5)	—	49V

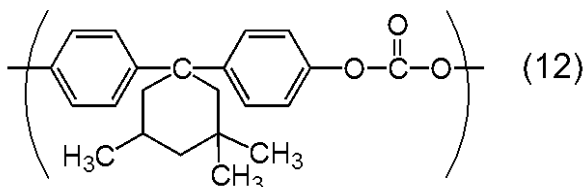
【0114】

(実施例9)

実施例1のポリエステル樹脂20部を、式(B6-5-3)で示される構造単位を有するポリエステル樹脂10部(重量平均分子量:96,000)と、下記式(12)で示される構造単位を有するポリカーボネート樹脂(重量平均分子量:53000)10部に変更した。それ以外は実施例1と同様に電子写真感光体を製造し、同様にフォトメモリーの評価を行った。結果を、表2に示す。なお、フォトメモリー改善量は、比較例3と実施例9のフォトメモリーの差分として求めた。

【0115】

【化18】



【0116】

(実施例10)

実施例1のポリエステル樹脂20部を、式(B6-5-3)で示される構造単位を有するポリエステル樹脂(重量平均分子量:96,000)10部と、式(12)で示される構造単位と、下記式(13)で示される構造単位を4/6の割合(モル比)で有するポリカーボネート樹脂10部(重量平均分子量:47,000)に変更した。それ以外は実施例1と同様に電子写真感光体を製造し、同様にフォトメモリーの評価を行った。結果を、表2に示す。なお、フォトメモリー改善量は、比較例3と実施例10のフォトメモリーの差分として求めた。

【0117】

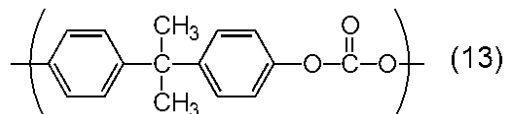
10

20

30

40

【化19】



【0118】

(比較例9)

実施例1のポリエスチル樹脂20部を、式(8)で示される構造単位を有するポリエスチル樹脂(重量平均分子量:94,000)10部と、式(12)で示される構造単位と、式(13)で示される構造単位を4/6の割合(モル比)で有するポリカーボネート樹脂10部(重量平均分子量:47,000)に変更した。それ以外は実施例1と同様に電子写真感光体を製造し、同様にフォトメモリーの評価を行った。結果を、表2に示す。

【0119】

【表2】

(表2)

実施例	正孔輸送物質		樹脂	式(6)の含有量	フォトメモリー	フォトメモリーの改善量
	構造式	分子量				
9	式(7)	390	式(8-5-3)と式(12)のブレンド(5/5)	50ppm	28V	13V
10	式(7)	390	式(8-5-3)および式(12)と式(13)の共重合体(4/6)	35ppm	25V	16V

比較例	正孔輸送物質		樹脂	式(6)の含有量	フォトメモリー
	構造式	分子量			
3	式(8)および式(12)と式(13)の共重合体(4/6)		式(8)および式(12)と式(13)の共重合体(4/6)	-	41V

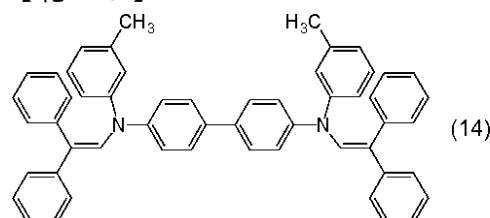
【0120】

(実施例11、12)

実施例1、2の式(7)で示されるアミン化合物を、下記式(14)で示されるアミン化合物(分子量:721)に変更した以外は実施例1、2と同様に電子写真感光体を製造し、同様にフォトメモリーの評価を行った。結果を、表3に示す。なお、フォトメモリー改善量は、比較例5と実施例11のフォトメモリーの差分、比較例4と実施例12のフォトメモリーの差分、として求めた。

【0121】

【化20】



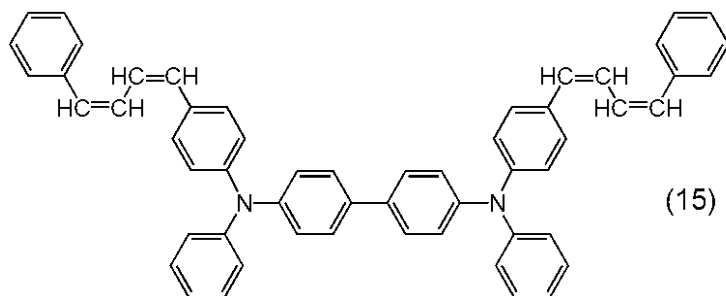
【0122】

(実施例13、14)

実施例1、2の式(7)で示されるアミン化合物を、下記式(15)で示されるアミン化合物(分子量:745)に変更した以外は実施例1、2と同様に電子写真感光体を製造し、同様にフォトメモリーの評価を行った。結果を、表3に示す。なお、フォトメモリー改善量は、比較例5と実施例13のフォトメモリーの差分、比較例4と実施例14のフォトメモリーの差分、として求めた。

【0123】

【化21】



10

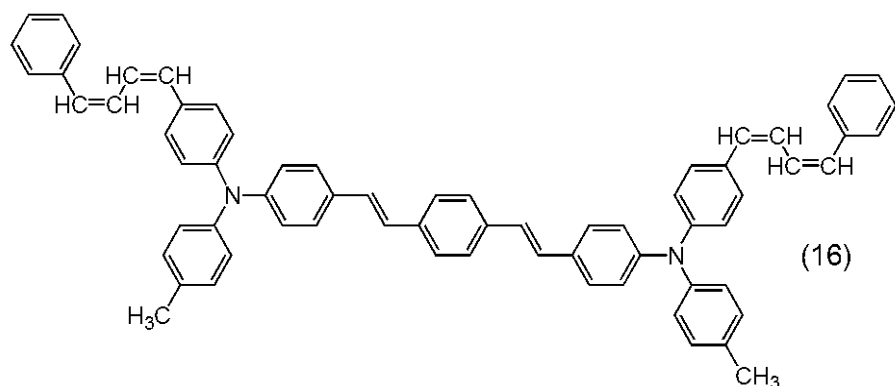
【0124】

(実施例15、16)

実施例1、2の式(7)で示されるアミン化合物を、下記式(16)で示されるアミン化合物(分子量: 901)に変更した以外は実施例1、2と同様に電子写真感光体を製造し、同様にフォトメモリーの評価を行った。結果を、表3に示す。なお、フォトメモリー改善量は、比較例5と実施例15のフォトメモリーの差分、比較例4と実施例16のフォトメモリーの差分、として求めた。

【0125】

【化22】



20

【0126】

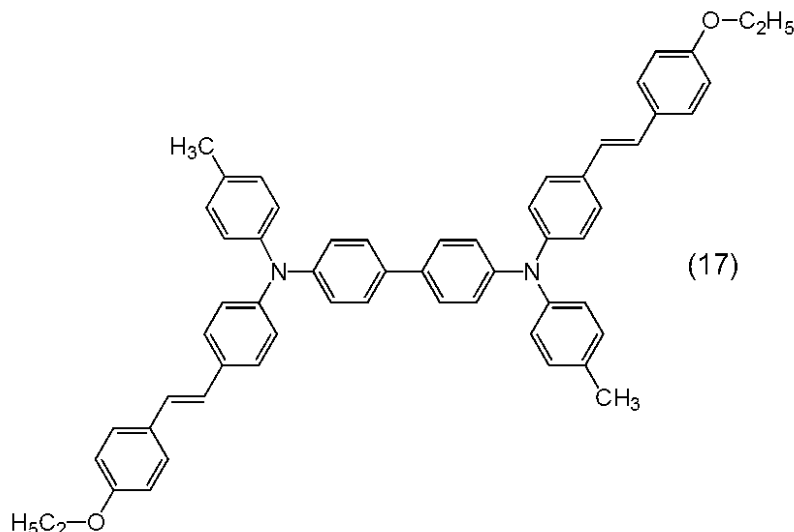
(実施例17、18)

実施例1、2の式(7)で示されるアミン化合物を、下記式(17)で示されるアミン化合物(分子量: 809)に変更した以外は実施例1、2と同様に電子写真感光体を製造し、同様にフォトメモリーの評価を行った。結果を、表3に示す。なお、フォトメモリー改善量は、比較例5と実施例17のフォトメモリーの差分、比較例4と実施例18のフォトメモリーの差分、として求めた。

【0127】

30

【化23】



【0128】

(実施例19、20)

実施例11、12において、ポリエステル樹脂中の式(6)で示されるジオール類の化合物の含有量が、95 ppmと160 ppmであるポリエステル樹脂に変更した。それ以外は実施例11、12と同様に電子写真感光体を製造し、同様にフォトメモリーの評価を行った。結果を、表3に示す。なお、フォトメモリー改善量は、比較例4と実施例19のフォトメモリーの差分、比較例4と実施例20のフォトメモリーの差分、として求めた。

【0129】

(比較例4)

実施例12のポリエステル樹脂を、式(8)で示される構造単位を有するポリエステル樹脂(重量平均分子量：94,000)に変更した以外は実施例12と同様に電子写真感光体を製造し、同様にフォトメモリーの評価を行った。結果を、表3に示す。

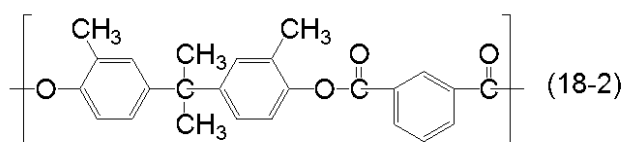
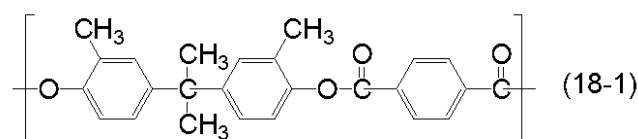
【0130】

(比較例5)

実施例11のポリエステル樹脂を、下記式(18-1)で示される構造単位と、式(18-2)で示される構造単位を5/5の割合(モル比)で有するポリエステル樹脂(重量平均分子量：100,000)に変更した。それ以外は実施例11と同様に電子写真感光体を製造し、同様にフォトメモリーの評価を行った。結果を、表3に示す。

【0131】

【化24】



【0132】

【表3】

(表3)

実施例	正孔輸送物質		樹脂	式(6)の含有量	フォトメモリー	フォトメモリーの改善量
	構造式	分子量				
11	式(14)	721	式(B6-2-1)と式(B6-4-1)の共重合体(5/5)	50ppm	33V	25V
12	式(14)	721	式(B6-5-3)	50ppm	32V	25V
13	式(15)	745	式(B6-2-1)と式(B6-4-1)の共重合体(5/5)	50ppm	33V	25V
14	式(15)	745	式(B6-5-3)	50ppm	32V	25V
15	式(16)	901	式(B6-2-1)と式(B6-4-1)の共重合体(5/5)	50ppm	36V	22V
16	式(16)	901	式(B6-5-3)	50ppm	37V	20V
17	式(17)	809	式(B6-2-1)と式(B6-4-1)の共重合体(5/5)	50ppm	37V	21V
18	式(17)	809	式(B6-5-3)	50ppm	37V	20V
19	式(14)	721	式(B6-5-3)	95ppm	34V	23V
20	式(14)	721	式(B6-5-3)	160ppm	39V	18V

比較例	正孔輸送物質		樹脂	式(6)の含有量	フォトメモリー
	構造式	分子量			
4	式(14)	721	式(8)	-	57V
5	式(14)	721	式(18-1)と式(18-2)の共重合体(5/5)	-	58V

【0133】

(実施例21)

実施例1の電荷発生層のY型オキシチタニウムフタロシアニン結晶を、CuK特性X線回折におけるプラグ角($2 \pm 0.2^\circ$)の 7.5° 、 9.9° 、 12.5° 、 16.3° 、 18.6° 、 25.1° および 28.3° にピークを有する結晶形のヒドロキシガリウムフタロシアニン結晶に変更した。それ以外は実施例1と同様に電子写真感光体を30
製造し、同様にフォトメモリーの評価を行った。結果を、表4に示す。

(表4)

実施例	正孔輸送物質		樹脂	式(6)の含有量	フォトメモリー
	構造式	分子量			
21	式(7)	390	式(B6-2-1)と式(B6-4-1)の共重合体(5/5)	50ppm	18V

【符号の説明】

【0134】

1 電子写真感光体

2 軸

3 帯電手段(一次帯電手段)

4 露光光(画像露光光)

5 現像手段

6 転写手段(転写ローラーなど)

7 クリーニング手段(クリーニングブレードなど)

8 定着手段

9 プロセスカートリッジ

10 案内手段

P 転写材(紙など)

10

20

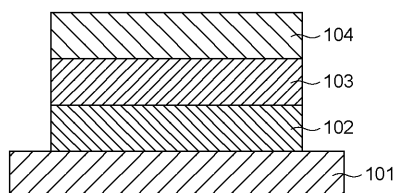
30

40

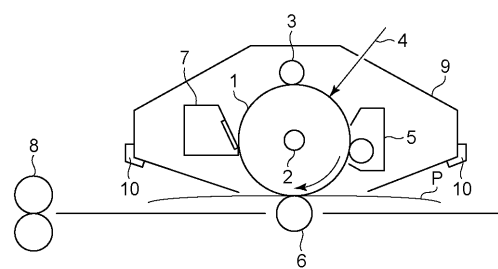
50

- 1 0 1 支持体
1 0 2 下引き層
1 0 3 電荷発生層
1 0 4 正孔輸送層

【図1】



【図2】



フロントページの続き

(72)発明者 三浦 大祐
東京都大田区下丸子3丁目30番2号キヤノン株式会社内
(72)発明者 雲井 郭文
東京都大田区下丸子3丁目30番2号キヤノン株式会社内

審査官 野田 定文

(56)参考文献 特開平08-110646 (JP, A)
特開2001-242645 (JP, A)
特開2005-227527 (JP, A)
特開2006-053549 (JP, A)
特開2012-133341 (JP, A)
特開2009-020504 (JP, A)
特開平08-220783 (JP, A)
特開2012-208267 (JP, A)

(58)調査した分野(Int.Cl., DB名)

G 03 G 5 / 00 - 5 / 16
C A p l u s / R E G I S T R Y (S T N)